

TD1 Calcul vectoriel / tensoriel

Opérateurs différentiels

$$1. \vec{u} = \cos x \vec{e}_x + xyz \vec{e}_y$$

$$\begin{aligned} \rightarrow \vec{\nabla} \cdot \vec{u} &= \partial_x (\cos x) + \partial_y (xyz) \\ &= -\sin x + xz \end{aligned}$$

$$\begin{aligned} \rightarrow \vec{\nabla}_x \vec{u} &= \begin{vmatrix} \vec{e}_x & \vec{e}_y & \vec{e}_z \\ \partial_x & \partial_y & \partial_z \\ \cos x & xyz & 0 \end{vmatrix} = -\partial_z (xyz) \vec{e}_x + \partial_z (\cos x) \vec{e}_y \\ &\quad + (\partial_x (xyz) - \partial_y (\cos x)) \vec{e}_z \\ &= -xy \vec{e}_x + yz \vec{e}_z \end{aligned}$$

$$\begin{aligned} \rightarrow \vec{\sigma} &= \begin{bmatrix} \partial_x u_x & \frac{1}{2}(\partial_x u_y + \partial_y u_x) & \frac{1}{2}(\partial_x u_z + \partial_z u_x) \\ & \partial_y u_y & \frac{1}{2}(\partial_y u_z + \partial_z u_y) \\ & & \partial_z u_z \end{bmatrix} \\ &= \begin{bmatrix} -\sin x & \frac{1}{2}(yz) & 0 \\ \frac{1}{2}(yz) & xz & \frac{1}{2}(xy) \\ 0 & \frac{1}{2}(xy) & 0 \end{bmatrix} \end{aligned}$$

$$\begin{aligned} \rightarrow (\vec{u} \cdot \vec{\nabla}) \vec{u} &= (\cos x \partial_x + xyz \partial_y) (\cos x \vec{e}_x + xyz \vec{e}_y) \\ &= -\sin x \cos x \vec{e}_x + x^2 y z^2 \vec{e}_y \end{aligned}$$

$$\underline{\vec{r}} = r \vec{e}_r + z r \sin \theta \vec{e}_\theta$$

(2)

$$\rightarrow \vec{\nabla} \cdot \underline{\vec{u}} = \frac{1}{r} \partial_r (r u_r) + \frac{1}{r} \partial_\theta u_\theta + \partial_z u_z$$

$$= \frac{1}{r} \partial_r (r^2) + \frac{1}{r} \partial_\theta (z r \sin \theta)$$

$$= 2 + 2 \cos \theta$$

$$\rightarrow \vec{\nabla} \times \underline{\vec{u}} = \frac{1}{r} \begin{vmatrix} \vec{e}_r & r \vec{e}_\theta & \vec{e}_z \\ \partial_r & \partial_\theta & \partial_z \\ u_r & r u_\theta & u_z \end{vmatrix}$$

$$= \left(\frac{1}{r} \partial_\theta u_z - \partial_z u_\theta \right) \vec{e}_r + \left(\partial_z u_r - \partial_r u_z \right) \vec{e}_\theta$$

$$+ \left(\frac{1}{r} \partial_r (r u_\theta) - \frac{1}{r} \partial_\theta u_r \right) \vec{e}_z$$

$$= (-r \sin \theta) \vec{e}_r + \frac{1}{r} \partial_r (z r^2 \sin \theta) \vec{e}_z$$

$$= (-r \sin \theta) \vec{e}_r + 2z \sin \theta \vec{e}_z$$

$$\rightarrow \underline{\underline{\varepsilon}} = \begin{pmatrix} \partial_r(r) & \frac{1}{2} \left(\frac{1}{r} \partial_\theta(r^2) - z r \frac{\sin \theta}{r} + \partial_r(z r \sin \theta) \right) & 0 \\ 0 & \left(\frac{1}{r} \partial_\theta(z r \sin \theta) + \frac{r}{2} \right) & \frac{1}{2} \left(\partial_z(z r \sin \theta) \right) \\ 0 & 0 & 0 \end{pmatrix}$$

$$= \begin{bmatrix} 1 & 0 & 0 \\ 0 & 2 \cos \theta + 1 & \frac{\theta \sin \theta}{2} \\ 0 & \frac{\theta \sin \theta}{2} & 0 \end{bmatrix}$$

$$\rightarrow (\vec{u} \cdot \vec{\nabla}) \vec{u} = (u_r \partial_r + u_\theta \frac{1}{r} \partial_\theta + u_z \partial_z) (u_r \vec{e}_r + u_\theta \vec{e}_\theta + u_z \vec{e}_z) \quad (3)$$

$$\Delta \begin{cases} \partial_\theta \vec{e}_r = \vec{e}_\theta \\ \partial_\theta \vec{e}_\theta = -\vec{e}_r \end{cases}$$

$$= (r \partial_r + z \sin \theta \partial_\theta) (r \vec{e}_r + z r \sin \theta \vec{e}_\theta)$$

$$= r \vec{e}_r + z \sin \theta \vec{e}_\theta + z \sin \theta r \underbrace{\partial_\theta \vec{e}_r}_{\vec{e}_\theta} + z \sin \theta (\partial_\theta (z r \sin \theta)) \vec{e}_\theta + z \sin \theta z r \sin \theta \underbrace{\partial_\theta \vec{e}_\theta}_{-\vec{e}_r}$$

$$= (r - r z^2 \sin^2 \theta) \vec{e}_r$$

$$+ (z \sin \theta + z \sin \theta r + z^2 r \sin \theta \cos \theta) \vec{e}_\theta$$

Champs de déplacement

1.

$$\frac{d}{dt} \begin{bmatrix} x \\ y \\ z \end{bmatrix} = \begin{bmatrix} ax \\ by \\ cz \end{bmatrix}, \quad \underline{\text{ET}}: \begin{bmatrix} x(t) \\ y(t) \\ z(t) \end{bmatrix} = \begin{bmatrix} X \\ Y \\ Z \end{bmatrix}$$

↳ solution

$$x = X e^{at}$$

$$y = Y e^{bt}$$

$$z = Z e^{ct}$$

Le champ de déplacement :

$$\vec{r} = X e^{at} \vec{e}_x + Y e^{bt} \vec{e}_y + Z e^{ct} \vec{e}_z$$

$$2. \vec{u}^L(\vec{R}, t) = \vec{u}(\vec{r}(\vec{R}, t), t).$$

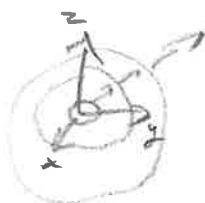
(4)

$$\Rightarrow \vec{u}^L(X, Y, Z, t) = a X e^{at} \vec{e}_x + b Y e^{bt} \vec{e}_y + c Z e^{ct} \vec{e}_z.$$

On exprime la vitesse avec les coordonnées initiales dans \vec{u}^L .

Théorème du transport

Notre volume $V(t)$ = sphère de rayon $R(t) = t$
variable



$$1. F(t) = \iiint_{V(t)} f(r, t) dV$$

$$= \int_0^{R(t)} \int_0^\pi \int_0^{2\pi} r^2 t \cdot r^2 \sin\theta \, dr \, d\theta \, d\phi$$

$$= t \int_0^t r^4 \, dr \underbrace{\int_0^\pi \int_0^{2\pi} \sin\theta \, d\theta \, d\phi}_{4\pi}$$

$$= 4\pi \frac{t^6}{6}$$

$$\frac{dF(t)}{dt} = 24\pi \frac{t^5}{5}$$

$$2. \quad \frac{dF}{dt} = \iiint_{V(t)} \partial_t f \, dV + \oint_{\partial V(t)} f (\vec{v} \cdot d\vec{S})$$

f sur la surface

$$f|_{\partial V} = R^2(t) t = t^3$$

\vec{v} = vitesse des points de la surface de $V(t)$.

$$\vec{v} = \frac{dR(t)}{dt} \vec{e}_r = \vec{e}_r \quad \text{ici}$$

$$d\vec{S} = R^2(t) \sin \theta \, d\theta \, d\phi \, \vec{e}_r$$

$$\Rightarrow (\vec{v} \cdot d\vec{S}) = t^2 \sin \theta \, d\theta \, d\phi.$$

3. Donne

$$\frac{dF}{dt} = \int_0^t \int_0^\pi \int_0^{2\pi} \underbrace{\partial_t (r^2 t)}_{r^2} r^2 \sin \theta \, dr \, d\theta \, d\phi$$

$$+ \int_0^\pi \int_0^{2\pi} t^3 t^2 \sin \theta \, d\theta \, d\phi.$$

$$= 4\pi \underbrace{\frac{t^5}{5}}_{\text{volume}} + \underbrace{4\pi t^5}_{\text{surface}}$$

$$= 24\pi \frac{t^5}{5}$$

en effet le bon résultat

Champ matériel

$$1. \quad \partial_t f + \vec{u} \cdot \vec{\nabla} f = 0$$

$$\Leftrightarrow \partial_t f + \gamma x \partial_x f - \gamma y \partial_y f = 0 \quad (*)$$

} les équations par les caractéristiques

$$\frac{dt}{1} = \frac{dx}{\gamma x} = \frac{dy}{-\gamma y}$$

$$\Rightarrow \begin{cases} \frac{dx}{dt} = \gamma x \rightarrow x = C e^{\gamma t} \\ \frac{dy}{dt} = -\gamma y \rightarrow y = D e^{-\gamma t} \end{cases}$$

Selon la méthode des caractéristiques on peut utiliser

$$C = x e^{-\gamma t}$$

$$D = y e^{\gamma t}$$

Comme nouvelles variables pour écrire la solution générale de (*).

$$f(x, y, t) = \Phi(x e^{-\gamma t}, y e^{\gamma t})$$



une fonction arbitraire
qui sera fixée par
des conditions initiales

Tester vous-même cette solution en l'injectant dans (*)

2. Si $f(x, y, 0) = A e^{x^2 + y^2}$

(7)

$\Rightarrow \Phi(xe^0, ye^0) = A e^{x^2 + y^2}$

$\Rightarrow \Phi(x, y) = A e^{x^2 + y^2}$

arg 1 arg 2

Ainsi on a dit que

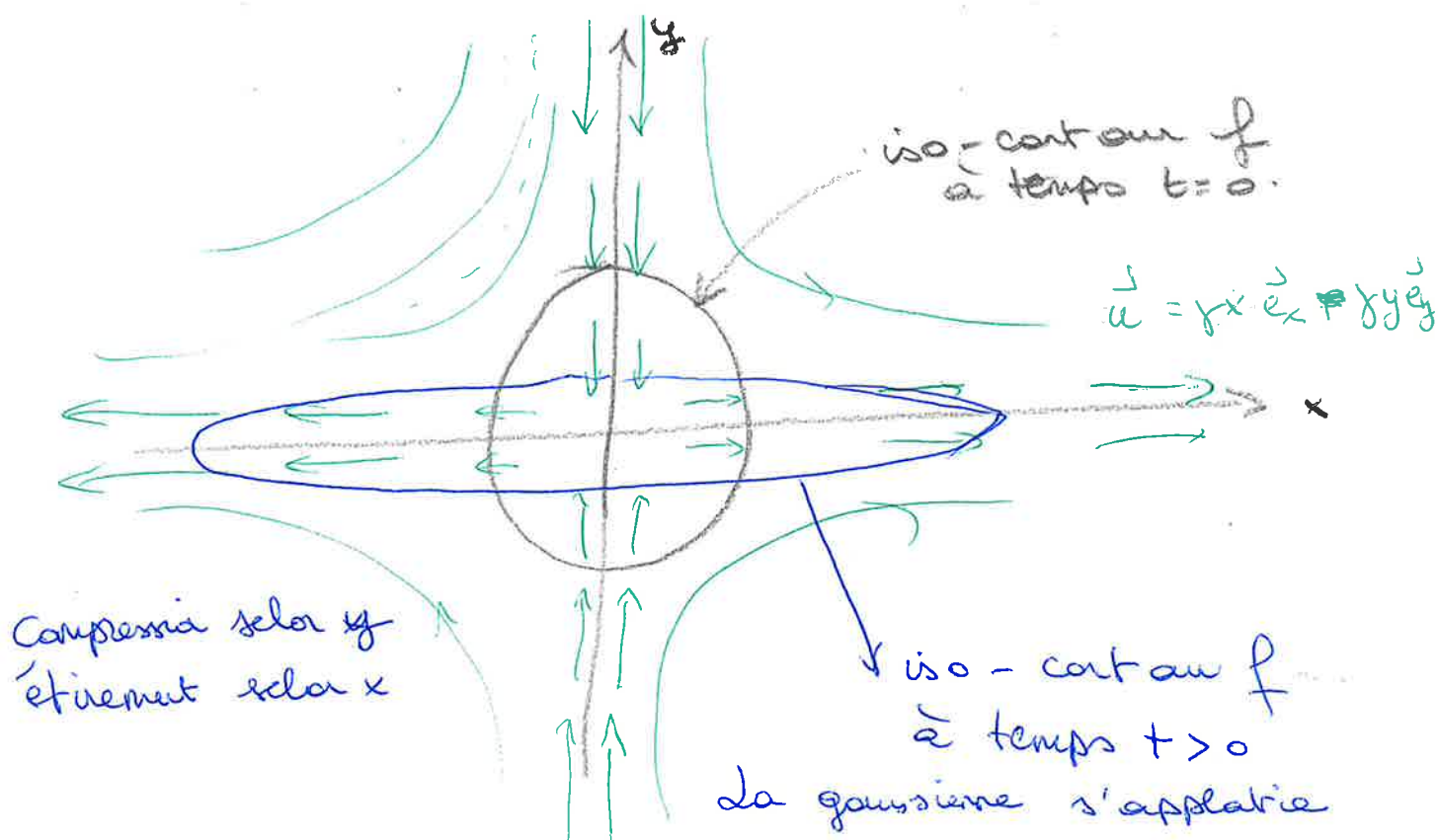
$\Phi(xe^{-\gamma t}, ye^{\gamma t}) = A e^{x^2 e^{-2\gamma t} + y^2 e^{2\gamma t}}$

Soit

$f(x, y, t) = A e^{\underbrace{\frac{x^2}{e^{2\gamma t}}}_{\text{large}} + \underbrace{\frac{y^2}{e^{-2\gamma t}}}_{\text{fin}}}$

solution du problème.

Interprétation



Force de surface.

8

$$\vec{F}_S = \oint_{\partial V} \vec{T} \cdot d\vec{S}$$

Option 1 : Théorème de divergence

$$\vec{F}_S = \iiint_V \vec{\nabla} \cdot \vec{\sigma} dV$$

↙ Contenus

$$\begin{aligned} \begin{bmatrix} F_{Sx} \\ F_{Sy} \\ F_{Sz} \end{bmatrix} &= \iiint_V \begin{bmatrix} \frac{\partial \sigma_{xx}}{\partial x} + \frac{\partial \sigma_{xy}}{\partial y} + \frac{\partial \sigma_{xz}}{\partial z} \\ \frac{\partial \sigma_{yx}}{\partial x} + \frac{\partial \sigma_{yy}}{\partial y} + \frac{\partial \sigma_{yz}}{\partial z} \\ \frac{\partial \sigma_{zx}}{\partial x} + \frac{\partial \sigma_{zy}}{\partial y} + \frac{\partial \sigma_{zz}}{\partial z} \end{bmatrix} dV \\ &= \iiint_V \begin{bmatrix} 0 & + & 1 & - & 1 \\ 0 & + & 0 & + & 0 \\ 0 & + & 0 & + & 0 \end{bmatrix} dV = \begin{bmatrix} 0 \\ 0 \\ 0 \end{bmatrix} \end{aligned}$$

$$\Rightarrow \vec{F}_S = \vec{0}$$

Option 2 : Calcul des intégrales de surface.

$$d\vec{S} = R^2 \sin\theta d\theta d\phi \vec{e}_r$$

Sur la surface on a tout que

$$\vec{e}_r = \frac{x}{R} \vec{e}_x + \frac{y}{R} \vec{e}_y + \frac{z}{R} \vec{e}_z$$

Ainsi on peut calculer $\vec{F} \cdot d\vec{S}$ en compos. Cartésiennes (9)

$$\vec{F} \cdot d\vec{S} = \begin{bmatrix} 0 & y & -z \\ y & 0 & x \\ -z & x & 0 \end{bmatrix} \begin{bmatrix} x \\ y \\ z \end{bmatrix} R \sin \theta \, d\theta \, d\phi$$

$$= \begin{bmatrix} y^2 - z^2 \\ xy + xz \\ -xz + xy \end{bmatrix} R \sin \theta \, d\theta \, d\phi.$$

On doit donc calculer.

$$\begin{bmatrix} F_x \\ F_y \\ F_z \end{bmatrix} = \int_0^\pi \int_0^{2\pi} \begin{bmatrix} y^2 - z^2 \\ xy + xz \\ -xz + xy \end{bmatrix} R \sin \theta \, d\theta \, d\phi.$$

sur la
sphère

Pour ce faire, il faut remplacer

$$x = R \sin \theta \cos \phi$$

$$y = R \sin \theta \sin \phi$$

$$z = R \cos \theta.$$

Alors

$$\begin{bmatrix} F_x \\ F_y \\ F_z \end{bmatrix} = R^3 \int_0^\pi \int_0^{2\pi} \begin{bmatrix} \sin^3 \theta & \sin^2 \phi & -\sin \theta \cos^2 \theta \\ \sin^3 \theta & \sin \phi \cos \phi & + \sin^2 \theta \cos \theta \cos \phi \\ -\sin^2 \theta \cos \theta \cos \phi & + \sin^3 \theta \sin \phi \cos \phi \end{bmatrix} d\theta \, d\phi.$$

$\int_0^{2\pi} (\dots) d\phi = 0$ pour ces termes.

Il reste

$$\int_0^\pi \int_0^{2\pi} \sin^3 \theta \sin^2 \phi \, d\theta \, d\phi.$$

$$= \int_0^\pi \sin^3 \theta \, d\theta \underbrace{\int_0^{2\pi} \sin^2 \phi \, d\phi}_{\pi}$$

$$= \pi \int_0^\pi (\cos^2 \theta - 1) \, d \cos \theta$$

$$= \pi \left[\frac{\cos^3 \theta}{3} - \cos \theta \right]_0^\pi = \frac{4\pi}{3}$$

$$\int_0^\pi \int_0^{2\pi} \cos^2 \theta \sin \theta \, d\theta \, d\phi$$

$$= 2\pi \int_0^\pi (-\cos^2 \theta \, d \cos \theta)$$

$$= 2\pi \left[-\frac{\cos^3 \theta}{3} \right]_0^\pi = \frac{4\pi}{3}$$

Ainsi on trouve

$$\begin{bmatrix} \frac{1}{3}x \\ \frac{1}{3}y \\ \frac{1}{3}z \end{bmatrix} = \begin{bmatrix} 0 \\ 0 \\ 0 \end{bmatrix} \quad \text{aussi}$$

Rq: on peut aller + vite par symétrie

$$\left\{ \begin{array}{l} \iiint y^2 \, dV = 0 \\ \iiint x^2 \, dV = 0 \\ \iiint xz \, dV = 0 \end{array} \right.$$

$\iiint y^2 \, dV = \iiint z^2 \, dV$ par une sphère

2.1 Ressaut (route)

Bilan d'énergie

On part de (1.142) avec :

$$\left\{ \begin{array}{l} \vec{V} = \vec{0} \quad (\text{volume immobile}) \\ \vec{f} = -\rho g \vec{e}_z \quad (\text{gravité}) \\ q = 0 \\ \vec{q} = \vec{0} \quad (\text{pas de source ni flux de chaleur}) \\ \vec{T} = -p \vec{1} \quad (\text{pression uniquement}) \end{array} \right.$$

$$\frac{dE}{dt} = - \oint_{\Sigma} \rho \left(\frac{\|\vec{u}\|^2}{2} + e \right) (\vec{u} \cdot d\vec{S}) + \iiint_V (-\rho g \vec{e}_z) \cdot \vec{u} \, dV - \oint_{\Sigma} p (\vec{u} \cdot d\vec{S})$$

On peut récrire le terme de gravité comme un terme surfacique

$$\begin{aligned} \iiint_V (-\rho g \vec{e}_z) \cdot \vec{u} \, dV &= \iiint_V (-\vec{\nabla}(\rho g z) \cdot \vec{u}) \, dV \\ &= \iiint_V (-\vec{\nabla} \cdot (\rho g z \vec{u})) \, dV + \iiint_V \rho g z \vec{\nabla} \cdot \vec{u} \, dV \\ &= - \oint_{\Sigma} \rho g z (\vec{u} \cdot d\vec{S}) \end{aligned}$$

Ainsi de $\frac{dE}{dt} = 0$ on obtient

$$0 = - \oint_{\Sigma} \left(\rho \left(\frac{\|\vec{u}\|^2}{2} + e \right) + p + \rho g z \right) (\vec{u} \cdot \vec{dS})$$

L'entrée et la sortie sont les seules surfaces perméables où $(\vec{u} \cdot \vec{dS}) \neq 0$. On suppose

$e = e_1$ constant en amont.

$e = e_2$ constant en aval.

De ce bilan on obtient



$S_1: \vec{u} \cdot \vec{dS} \neq 0$
pour $z \in [0, H_1]$

$$\int_0^{H_1} \left(\rho \left(\frac{u_1^2}{2} + e_1 \right) + \underbrace{p_1(z) + \rho g z}_{\downarrow p_0 + \rho g H_1} \right) (u_1 L dz)$$

$$= \int_0^{H_2} \left(\rho \left(\frac{u_2^2}{2} + e_2 \right) + \underbrace{p_2(z) + \rho g z}_{\downarrow p_0 + \rho g H_2} \right) (u_2 L dz)$$

Les intégrales impliquent p_0 disparaissent grâce à la conservation du débit $u_1 H_1 = u_2 H_2$. Il

reste :

$$\left(\cancel{\rho} \frac{u_1^2}{2} + \cancel{\rho} e_1 + \cancel{\rho} g H_1 \right) u_1 H_1 \checkmark$$

$$= \left(\cancel{\rho} \frac{u_2^2}{2} + \cancel{\rho} e_2 + \cancel{\rho} g H_2 \right) u_2 H_2 \checkmark$$

On doit calculer $(e_2 - e_1) \dot{Q}_m$

(3)

\dot{Q}_m
↓
 $g U_1 H_1 L$ ou $g U_2 H_2 L$

ça donne

$$\left[\left(\frac{U_1^2}{2} + g H_1 \right) - \left(\frac{U_2^2}{2} + g H_2 \right) \right] \dot{Q}_m$$

$$= (e_2 - e_1) \dot{Q}_m$$

Donc

$$\Delta \dot{Q} = \left[\left(\frac{U_1^2}{2} + g H_1 \right) - \left(\frac{U_2^2}{2} + g H_2 \right) \right] \dot{Q}_m$$

↓
écart à la conservation de l'énergie

$$\text{Avec } U_1^2 = \frac{g}{2} \frac{H_2}{H_1} (H_1 + H_2)$$

$$U_2^2 = \frac{g}{2} \frac{H_1}{H_2} (H_1 + H_2)$$

$$\Delta \dot{Q} = \left[\frac{g}{4} (H_1 + H_2) \left(\frac{H_2}{H_1} - \frac{H_1}{H_2} \right) + g (H_1 - H_2) \right] \dot{Q}_m$$

$$= g \left[\frac{(H_1 + H_2)}{4} \frac{(H_2^2 - H_1^2)}{H_1 H_2} + (H_1 - H_2) \right] \dot{Q}_m$$

$$= g (H_2 - H_1) \left[\frac{(H_1 + H_2)^2}{4 H_1 H_2} - 1 \right] \dot{Q}_m$$

Donc

$$\Delta \dot{Q} = g (H_2 - H_1) \left[\frac{H_1^2 + 2H_1 H_2 + H_2^2 - 4H_1 H_2}{4H_1 H_2} \right] Q_M$$
$$= \frac{g}{4} \frac{(H_2 - H_1)^3}{H_1 H_2} Q_M$$

Ainsi $\Delta \dot{Q} > 0$, production de chaleur, si $H_2 > H_1$. En pratique c'est une production de chaleur très faible.

13. La notion de ligne de courant peut
en sens, lorsqu'on passe à travers un
remont



Force hydrodynamique sur plan incliné

(1)

1. $\oint_{\Sigma} \vec{ds} = \vec{0}$?

On imagine \vec{A} un vecteur constant : ainsi, donc

$$\oint_{\Sigma} \vec{A} \cdot \vec{ds} \stackrel{\text{th.}}{=} \underset{\text{div}}{\iiint_V \vec{\nabla} \cdot \vec{A} dV}$$

Comme le vecteur est constant on a $\vec{\nabla} \cdot \vec{A} = 0$
et on peut sortir \vec{A} de l'intégrale. Ainsi

$$\vec{A} \cdot \oint_{\Sigma} \vec{ds} = 0 \Rightarrow \oint_{\Sigma} \vec{ds} = \vec{0}$$

Or \vec{A} est arbitraire.

2. $\vec{e}_1 = ?$



$$\left[\vec{e}_1 = \sin \alpha \vec{e}_t - \cos \alpha \vec{e}_n \right]$$

3. Euler stationnaire (sans gravité).

$$\rho (\vec{u} \cdot \vec{\nabla}) \vec{u} = -\vec{\nabla} p$$

Si \vec{u} = uniforme alors $(\vec{u} \cdot \vec{\nabla}) \vec{u} = \vec{0}$

$$\vec{0} = \vec{\nabla} p$$

\Rightarrow la pression p est constante.

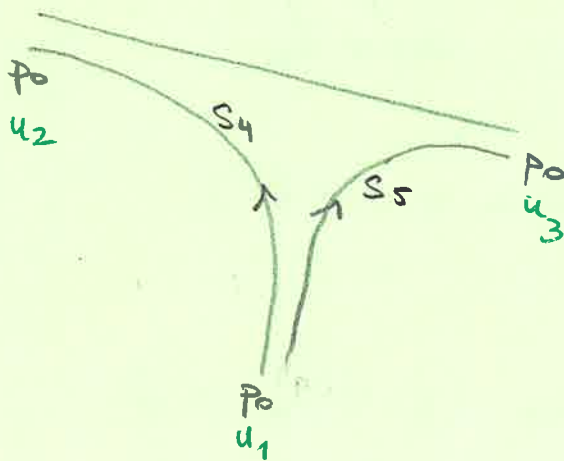
②
4. En absence de tension de surface, la pression à la surface libre, ici S_4 et S_5 sera celle du gaz.

$$P_4 = P_5 = p_0$$

Comme la pression est constante ds le fluide en S_1, S_2, S_3 (question précédente) on déduit que la pression dans le fluide doit être celle qui existe à la surface libre, p_0 donc.

$$P_1 = P_2 = P_3 = p_0$$

5. Bernoulli sur une ligne de courant. de S_4 ou S_5



$$\underline{S_4} : \cancel{p_0} + \frac{\rho u_1^2}{2} = \cancel{p_0} + \frac{\rho u_2^2}{2} \Rightarrow u_1 = u_2$$

$$\underline{S_5} : \cancel{p_0} + \frac{\rho u_1^2}{2} = \cancel{p_0} + \frac{\rho u_3^2}{2} \Rightarrow u_1 = u_3$$

$$6. \quad u_1 H_1 = u_2 H_2 + u_3 H_3$$

$$\Rightarrow H_1 = H_2 + H_3$$

$$7. \quad \oint_{\Sigma} g \vec{u} (\vec{u} \cdot d\vec{S}) + \oint_{\Sigma} p d\vec{S} = 0$$

$$\begin{aligned} \iint_{S_1} g \vec{u} (\vec{u} \cdot d\vec{S}) &= g u_1 (-\sin \alpha \vec{e}_t + \cos \alpha \vec{e}_n) (-u_1 H_1 L) \\ &= g u_1^2 H_1 L (\sin \alpha \vec{e}_t - \cos \alpha \vec{e}_n) \end{aligned}$$

$$\begin{aligned} \iint_{S_2} g \vec{u} (\vec{u} \cdot d\vec{S}) &= (-g u_2 \vec{e}_t) (u_2 H_2 L) \\ &= -g u_2^2 H_2 L \vec{e}_t \end{aligned}$$

$$\begin{aligned} \iint_{S_3} g \vec{u} (\vec{u} \cdot d\vec{S}) &= (g u_3 \vec{e}_t) (u_3 H_3 L) \\ &= g u_3^2 H_3 L \vec{e}_t \end{aligned}$$

S_4, S_5, S_6 sont imperméables ($\vec{u} \cdot d\vec{S} = 0$)

$$\begin{aligned} \Rightarrow \oint_{\Sigma} g \vec{u} (\vec{u} \cdot d\vec{S}) &= (g u_1^2 H_1 L \sin \alpha - g u_2^2 H_2 L \\ &\quad + g u_3^2 H_3 L) \vec{e}_t \\ &\quad - g u_1^2 H_1 L \cos \alpha \vec{e}_n \end{aligned}$$

Pour la pression

$$\oint p d\vec{S} = \iint_{S_1 \cup \dots \cup S_5} p_0 d\vec{S} + \iint_{S_6} p d\vec{S}$$

$$= \underbrace{\oint_{\Sigma} p_0 d\vec{S}}_{=0 \text{ sur } \vec{e}_1} + \iint_{S_6} (p - p_0) d\vec{S} \quad \text{force sur plaque.}$$

Ainsi du Bilan, on déduit

(4)

$$\vec{F}_{\rightarrow \text{plaque}} = \iint_{S_0} (P - P_0) d\vec{S}$$

$$= \rho U_1^2 H_1 L \cos \alpha \vec{e}_n$$

$$+ \rho U_1^2 L (H_2 - H_1 \sin \alpha - H_3) \vec{e}_b$$

8. Comme sur la plaque $d\vec{S} \sim \vec{e}_n$ on doit avoir

$$\vec{F}_{\rightarrow \text{plaque}} = \rho U_1^2 H_1 L \cos \alpha \vec{e}_n$$

Si $\alpha = 0$, on retrouve une formule proche de celle du cours (m si le cours = axisym $\neq 2D$)

9. Cela signifie aussi que


$$H_2 - H_1 \sin \alpha - H_3 = 0$$

car sinon force selon \vec{e}_b . Avec $H_1 = H_2 + H_3$
on élimine soit H_2 , soit H_3 .

$$H_2 - H_1 \sin \alpha - H_1 + H_2 = 0$$

$$\Leftrightarrow H_2 = \frac{H_1}{2} (1 + \sin \alpha) \quad \text{et} \quad H_3 = \frac{H_1}{2} (1 - \sin \alpha)$$

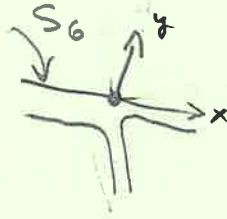
OK. m $\alpha > 0$
 $H_2 > H_3$



10. Pour calculer le couple, a d'abord évaluer

(5)

$$\vec{K} = \iint_{S_6} \vec{r} \times p \, d\vec{S}$$



$$\vec{n} = x \vec{e}_x \text{ sur } S_6$$

Peut-on passer par un bilan ?

$$\frac{d\vec{L}}{dt} = \vec{0} = \frac{d}{dt} \iiint_V \vec{r} \times \rho \vec{u} \, dV$$

$$\begin{aligned} \partial_t \rho u &= -\vec{\nabla} \cdot (\rho \vec{u} \otimes \vec{u}) \\ &\quad - \vec{\nabla} p \end{aligned}$$

$$= \iiint_V \vec{r} \times \partial_t \vec{u} \, dV$$

$$= - \iiint_V \vec{r} \times \vec{\nabla} \cdot (\rho \vec{u} \otimes \vec{u}) \, dV$$

$$- \iint_{S_6} \vec{r} \times p \, d\vec{S}$$

termes de surface ?

$$\vec{r} \times \vec{\nabla} \cdot (\rho \vec{u} \otimes \vec{u})$$

$$= \vec{e}_i \varepsilon_{ijk} x_j \partial_e (\rho u_e u_k)$$

$$= \vec{e}_i \partial_e (\varepsilon_{ijk} x_j \rho u_e u_k)$$

$$- \vec{e}_i \varepsilon_{ijk} \rho u_e u_k \underbrace{\partial_e x_j}_{\delta_{je}}$$

$$- \vec{e}_i \varepsilon_{ijk} \rho u_j u_k \quad \text{car } - \rho \vec{u} \otimes \vec{u}$$

$$= \partial_e (\vec{e}_i \varepsilon_{ijk} x_j \rho u_e u_k) \quad (\text{divergence})$$

Ainsi

$$\begin{aligned}
 & \iiint_V \vec{r} \times \vec{\nabla} \cdot (g \vec{u} \otimes \vec{u}) dV \\
 &= \iiint_V \partial_e (\vec{e}_i \varepsilon_{ijk} x_j g u_k u_e) dV \\
 &= \oint_{\Sigma} \vec{e}_i \varepsilon_{ijk} x_j g u_k u_e dS_e \\
 &= \oint_{\Sigma} (\vec{r} \times g \vec{u}) (\vec{u} \cdot \vec{dS})
 \end{aligned}$$

On arrive donc sur

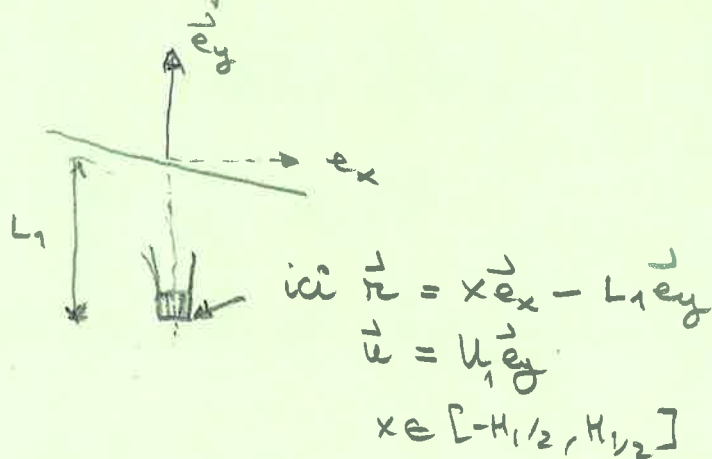
$$\vec{0} = \oint_{\Sigma} (\vec{r} \times g \vec{u}) (\vec{u} \cdot \vec{dS}) + \oint_{\Sigma} \vec{r} \times p \vec{dS}$$

Avec ce bilan de moment cinétique

$$(S_1) \quad \oint_{S_1} (\vec{r} \times g \vec{u}) (-u_1 dS)$$

$$= -L \int_{-H_{1/2}}^{H_{1/2}} x g u_1^2 dx \vec{e}_z$$

symétrie



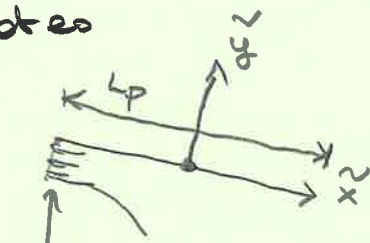
pos d'injection de moment orbital en bas.

sur les cotés

L_p = largeur de la plaque.

(7)

(S₂)



ici: $\vec{r} = -\frac{L_p}{2} \vec{e}_t + \tilde{y} \vec{e}_n$, $\tilde{y} \in [-H_2, 0]$

$\vec{u} = -u_2 \vec{e}_t$

et $\vec{e}_t \times \vec{e}_n = \vec{e}_2$

$$\iint_{S_2} (\vec{r} \times g\vec{u}) (u_2 dS)$$

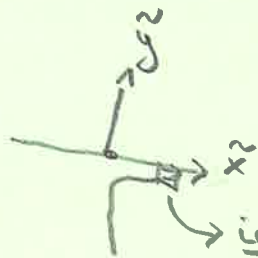
$$= L \int_{-H_2}^0 (\tilde{y} \vec{e}_n \times (-u_2 \vec{e}_t)) u_2 d\tilde{y}$$

$$= L \int_{-H_2}^0 \tilde{y} u_2^2 d\tilde{y} \vec{e}_2$$

$$= g u_2^2 L \left[\frac{\tilde{y}^2}{2} \right]_{-H_2}^0 \vec{e}_2$$

$$= -g u_2^2 L \frac{H_2^2}{2} \vec{e}_2$$

(S₃)



ici: $\vec{r} = \frac{L_p}{2} \vec{e}_t + \tilde{y} \vec{e}_n$, $\tilde{y} \in [-H_3, 0]$

$\vec{u} = u_3 \vec{e}_t$

$$\iint_{S_3} (\vec{r} \times g\vec{u}) (u_3 dS)$$

$$= L \int_{-H_3}^0 (\tilde{y} \vec{e}_n \times g u_3 \vec{e}_t) u_3 d\tilde{y}$$

$$= -L g u_3^2 \vec{e}_2 \left[-\frac{H_3^2}{2} \right] = g u_3^2 L \frac{H_3^2}{2} \vec{e}_2$$

Les autres parois sont imperméables

(8)

$$\oint_{\Sigma} (\vec{n} \times \vec{g} \vec{u}) (\vec{u} \cdot d\vec{S})$$

$$= \left(-g u_2^2 L \frac{H_2^2}{2} + g u_2^2 L \frac{H_3^2}{2} \right) \vec{e}_2$$

$$= g \frac{u_1^2}{2} L (H_3^2 - H_2^2) \vec{e}_2$$

$$= g \frac{u_1^2}{2} L \frac{H_1^2}{4} \left(1 - 2 \sin \alpha + \cancel{\sin^2 \alpha} - 1 - 2 \sin \alpha - \cancel{\sin^2 \alpha} \right) \vec{e}_2$$

$$= -g \frac{u_1^2}{2} L H_1^2 \sin \alpha \vec{e}_2$$

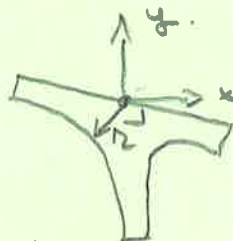
Reste le terme de pression

$$\oint_{\Sigma} \vec{n} \times p d\vec{S} = \underbrace{\oint_{S_6} \vec{n} \times (p - p_0) d\vec{S}}_{\text{Cespe recherchée } \vec{K}_{\text{plaque}}} + \underbrace{\oint_{\Sigma} \vec{n} \times p_0 d\vec{S}}_{\vec{0}}$$

Peut on montrer que

$$\oint_{\Sigma} \vec{n} \times p_0 d\vec{S} = \vec{0}$$

indice



ici \vec{n} décrit toute la surface.

$$p_0 \vec{e}_i \oint_{\Sigma} \underbrace{\varepsilon_{ijk}}_{A_{ik}} x_j dS_k$$

composantes d'un tenseur antisym.

On peut donc écrire

(9)

$$\oint_{\Sigma} \vec{r} \times p_0 d\vec{s}$$

$$= p_0 \oint_{\Sigma} \underbrace{\vec{e}_i A_{ik}}_{\vec{A} \cdot d\vec{s}} dS_k$$

$$\stackrel{\text{div}}{=} p_0 \iiint_V \vec{\nabla} \cdot \vec{A} dV$$

$$\stackrel{\text{indiciel}}{=} p_0 \iiint_V \vec{e}_i \frac{\partial}{\partial x_k} (A_{ik}) dV$$

$$= p_0 \iiint_V \vec{e}_i \frac{\partial}{\partial x_k} (\epsilon_{ijk} x_j) dV$$

$$\epsilon_{ijk} \delta_{jk} = \epsilon_{ijj} = 0$$

$$= 0$$

Comme preuve $\oint_{\Sigma} \vec{r} \times p_0 d\vec{s} = \vec{0}$. La pression p_0 n'exerce pas de couple. Ainsi on trouve du bilan de moment cinétique que

$$\oint_{\Sigma} (\vec{r} \times g\vec{u})(\vec{u} \cdot d\vec{s}) + \oint_{\Sigma} \vec{r} \times p d\vec{s} = \vec{0}$$

$$\Leftrightarrow -g u_1^2 \frac{L}{2} H_1^2 \sin \alpha \vec{e}_z + K_{\text{plaque}} \vec{1} = \vec{0}$$

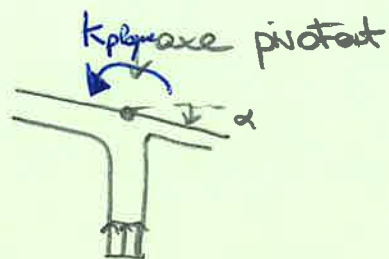
$$\Rightarrow K_{\text{plaque}} = g u_1^2 \frac{L}{2} H_1^2 \sin \alpha \vec{e}_z$$

← je mis un peu étiré du signe mais pourquoi pas.

Ce résultat suggère un couple stabilisant..

(10)

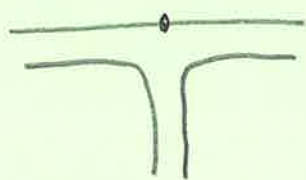
Si on attache la plaque sur un axe pivotant



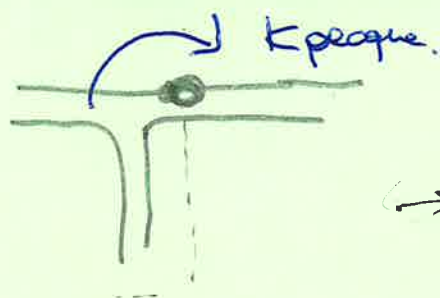
$\alpha > 0$ cause

$$K_{\text{plaque}}, z > 0$$

Le système va chercher à retourner vers la config $\alpha = 0$.



Evidemment, tout charge \vec{q} on envoie le jet hors de l'axe

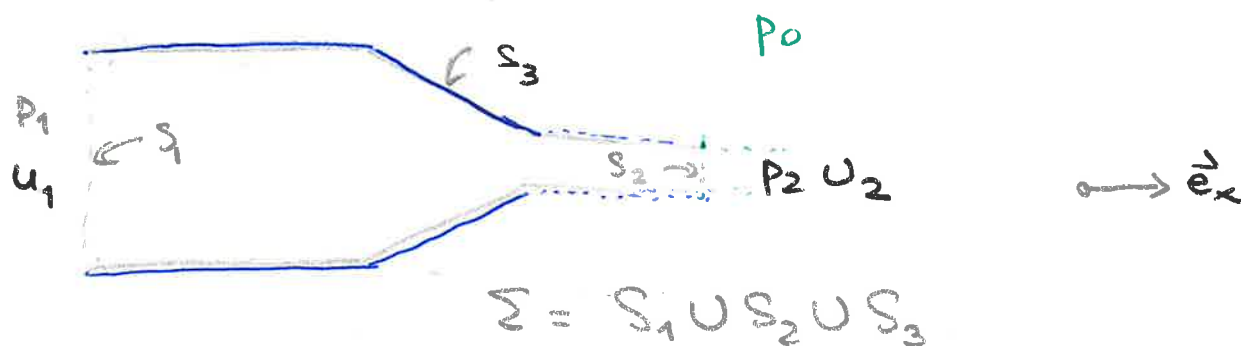


→ terme $\oint_{S_1} (\vec{n} \times \vec{q}) (\vec{n} \cdot d\vec{S}) \neq 0$



Volumes de contrôle . Force sur un convergent

(1)



Il manquait une info dans l'énoncé . Le convergent est dans une atmosphère à pression P_0 . On peut imaginer que $S_2 =$ surface dans l'air . Alors , à cet endroit

$$P_2 = P_0 !$$

Sans cette info P_1 et P_2 ne disparaissent pas du problème .

On veut calculer

$$\vec{F} = \iint_{S_3} (P - P_0) \vec{dS}$$

↓
j'enlève tout de suite la partie due à P_0 .

1. Mais $\frac{dM}{dt} = 0 \Rightarrow \oint_{\Sigma} \rho \vec{u} \cdot \vec{dS} = 0$

$$\Leftrightarrow [\rho u_1 S_1 = \rho u_2 S_2]$$

2. Quantité de mrt

(2)

$$\frac{d\vec{p}}{dt} = \vec{0} \quad \Leftrightarrow \quad \oint_{\Sigma} \rho \vec{u} (\vec{u} \cdot d\vec{S}) + \oint_{\Sigma} p d\vec{S} = \vec{0}$$

$$\Leftrightarrow \rho u_1 \vec{e}_x (-u_1 S_1) + \rho u_2 \vec{e}_x (u_2 S_2)$$

$$- p_1 S_1 \vec{e}_x + p_2 S_2 \vec{e}_x + \iint_{S_3} p d\vec{S} = \vec{0}$$

On a vu que $\oint_{\Sigma} p_0 d\vec{S} = 0$ (TD2 mp)

Si on retire $\oint_{\Sigma} p_0 d\vec{S}$ de l'éq. précédente

$$\Leftrightarrow [-\rho u_1^2 S_1 + \rho u_2^2 S_2 - (p_1 - p_0) S_1 + (p_2 - p_0) S_2] \vec{e}_x + \iint_{S_3} (p - p_0) d\vec{S} = \vec{0}$$

On prend en compte que $(p_2 = p_0)$ est une très bonne approximation.

3. Bernoulli nous dit que



$$p_1 + \rho \frac{u_1^2}{2} = p_0 + \rho \frac{u_2^2}{2}$$

$$\Rightarrow p_1 - p_0 = \frac{\rho}{2} (u_2^2 - u_1^2)$$

4. Cette relation permet d'éliminer la pression
On trouve donc :

$$\iint_{S_3} (p - p_0) \vec{dS} = \vec{F} = \left[\rho u_1^2 S_1 - \rho u_2^2 S_2 + \frac{\rho}{2} (u_2^2 - u_1^2) S_1 \right] \vec{e}_x$$

Avec la conservation de masse

$$u_1 S_1 = u_2 S_2 = Q \leftarrow \text{débit volumique}$$

On élimine

$$u_1 = \frac{Q}{S_1}$$

$$u_2 = \frac{Q}{S_2}$$

Ainsi

$$F_x = \rho Q^2 \left[\frac{1}{S_1} - \frac{1}{S_2} + \frac{1}{2} \left(\frac{1}{S_2^2} - \frac{1}{S_1^2} \right) S_1 \right]$$

$$= \rho Q^2 \left[\frac{S_2 - S_1}{S_1 S_2} + \frac{1}{2} \frac{(S_1 - S_2)(S_1 + S_2)}{S_1^2 S_2^2} S_1 \right]$$

$$= \rho Q^2 \frac{(S_1 - S_2)}{S_1 S_2} \left[-1 + \frac{1}{2} \frac{S_1^2 + S_1 S_2}{S_1 S_2} \right]$$

$$\frac{1}{2} \frac{S_1^2 - S_1 S_2}{S_1 S_2}$$

$$= \rho Q^2 \frac{(S_1 - S_2)^2}{S_1 S_2^2} > 0$$

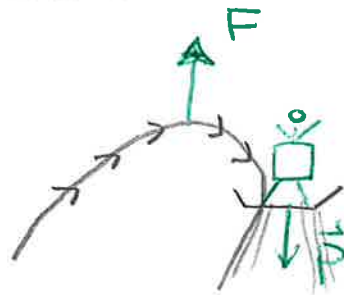
le liquide exerce donc une force vers l'avant sur la structure. Ce résultat est un peu contre-intuitif car on s'attend à qu'un jet exerce une pression dans le sens opposé.

Pense au Hooverboard avec eau



D'où vient donc la force qui garde le bonhomme en équilibre ?

Du coude



1. Coordonnées sphériques

$$\vec{e}_r = \sin\theta \cos\phi \vec{e}_x + \sin\theta \sin\phi \vec{e}_y + \cos\theta \vec{e}_z$$

$$\vec{e}_\theta = \cos\theta \cos\phi \vec{e}_x + \cos\theta \sin\phi \vec{e}_y - \sin\theta \vec{e}_z$$

$$\vec{e}_\phi = -\sin\phi \vec{e}_x + \cos\phi \vec{e}_y$$

Ainsi

$$\sin\theta \vec{e}_r + \cos\theta \vec{e}_\theta = \cos\phi \vec{e}_x + \sin\phi \vec{e}_y$$

↳ le vecteur unitaire radial des coordonnées cylindriques

De ce coup

$$\cos\phi (\sin\theta \vec{e}_r + \cos\theta \vec{e}_\theta) - \sin\phi \vec{e}_\phi$$

$$= (\cos^2\phi + \sin^2\phi) \vec{e}_x + (\sin\phi \cos\phi - \sin\phi \cos\phi) \vec{e}_y$$

Résultat :

$$\left[\vec{e}_x = \sin\theta \cos\phi \vec{e}_r + \cos\theta \cos\phi \vec{e}_\theta - \sin\phi \vec{e}_\phi \right]$$

On peut y arriver avec des schémas mais c'est + difficile.

$$2. \quad U \vec{e}_x = \vec{\nabla} \Phi_\infty$$

(2)

$$\Rightarrow \Phi_\infty = Ux$$

$$= U r \sin \theta \cos \phi$$

TEST

$$\vec{\nabla} \Phi_\infty = \frac{\partial \Phi_\infty}{\partial r} \vec{e}_r + \frac{1}{r} \frac{\partial \Phi_\infty}{\partial \theta} \vec{e}_\theta + \frac{1}{r \sin \theta} \frac{\partial \Phi_\infty}{\partial \phi} \vec{e}_\phi$$

$$= U (\sin \theta \cos \phi \vec{e}_r + \cos \theta \cos \phi \vec{e}_\theta$$

$$- \sin \phi \vec{e}_\phi)$$

$$= U (\vec{e}_x) \text{ effect ok}$$

3. On propose

$$\Phi = f(r) \sin \theta \cos \phi.$$

$$\text{à l'eq. } \nabla^2 \Phi = 0$$

$$\frac{1}{r^2} \frac{\partial}{\partial r} \left(r^2 \frac{\partial f}{\partial r} \right) \sin \theta \cos \phi$$

$$+ \frac{f}{r^2} \left[\frac{1}{\sin \theta} \frac{\partial}{\partial \theta} \left(\sin \theta \frac{\partial (\sin \theta)}{\partial \theta} \right) \cos \phi \right.$$

$$\left. + \frac{1}{\sin^2 \theta} \left(-\sin \theta \cos \phi \right) \right] = 0$$

$$\rightarrow \frac{1}{\sin \theta} \frac{\partial}{\partial \theta} (\sin \theta \cos \theta) = \frac{\cos^2 \theta - \sin^2 \theta}{\sin \theta}$$

soit

$$\frac{1}{\sin \theta} \frac{\partial}{\partial \theta} \left(\sin \theta \frac{\partial}{\partial \theta} (\sin \theta) \right)$$

$$= \frac{1 - 2 \sin^2 \theta}{\sin \theta}$$

Donne pour le terme entre crochets.

$$\dots + \frac{f}{r^2} \left[\frac{\cancel{\cos \phi}}{\cancel{\sin \theta}} - 2 \sin \theta \cos \phi - \frac{\cancel{\cos \phi}}{\cancel{\sin \theta}} \right]$$

Soit donc

$$\left[\frac{1}{r^2} \frac{\partial}{\partial r} \left(r^2 \frac{\partial f}{\partial r} \right) - \frac{2f}{r^2} \right] \sin \theta \cos \phi = 0$$

□ Rq: on appelle

$$\hat{L}_2 = - \left[\frac{1}{\sin \theta} \frac{\partial}{\partial \theta} \left(\sin \theta \frac{\partial}{\partial \theta} \right) + \frac{1}{\sin^2 \theta} \frac{\partial^2}{\partial \phi^2} \right]$$

opérateur du moment orbital

Soit alors une harmonique
sphérique $Y_l^m(\theta, \phi)$ est.

$$\hat{L}_2 Y_l^m(\theta, \phi) = l(l+1) Y_l^m(\theta, \phi)$$

Ici on peut combiner

$$Y_1^{\pm 1}(\theta, \phi) \Rightarrow \sin \theta \cos \phi = \frac{x}{r}$$

aussi

(4)

$$\hat{L}_2 \sin\theta \cos\phi = -(1)(1+1) \sin\theta \cos\phi \\ = -2 \sin\theta \cos\phi.$$

Parfois on gagne du temps en utilisant les notations Y_l^m et les propriétés des opérateurs.

On doit donc trouver $f(r)$ solution de

$$\frac{1}{r^2} \frac{\partial}{\partial r} \left(r^2 \frac{\partial f}{\partial r} \right) - \frac{2f}{r^2} = 0$$

Cette eq. différentielle admet des solutions (aussi)

$$f = r^\alpha$$

$$\frac{1}{r^2} \frac{\partial}{\partial r} \left(\alpha r^{\alpha+1} \right) - 2 r^{\alpha-2} = 0$$

$$\Rightarrow [\alpha(\alpha+1) - 2] r^\alpha = 0.$$



$$\alpha(\alpha+1) - 2 = 0$$

$$\text{soit } \alpha = 1 \quad \text{ou} \quad \alpha = -2 \\ \quad \quad \quad = (1) \quad \quad \quad = (-2-1)$$

$$\text{On a donc } f(r) = Ar + Br^{-2}$$

5. Bernoulli

(5)

$$p + \rho \frac{\|\vec{\nabla} \phi\|^2}{2} = C = p_{\infty} + \rho \frac{U^2}{2}$$

Donne

$$p = p_{\infty} + \rho \frac{U^2}{2} - \frac{\rho U^2}{2} \left[\left(1 - \frac{R^3}{r^3}\right)^2 \sin^2 \theta \cos^2 \phi + \left(1 + \frac{R^3}{2r^3}\right)^2 \cos^2 \theta \cos^2 \phi + \left(1 + \frac{R^3}{2r^3}\right)^2 \sin^2 \phi \right]$$

6. Sur la surface $P(R, \theta, \phi)$?

$$p|_{r=R} = p_{\infty} + \rho \frac{U^2}{2} - \frac{\rho U^2}{2} \left[0 + \frac{\rho}{4} \overbrace{\cos^2 \theta}^{1 - \sin^2 \theta} \cos^2 \phi + \frac{\rho}{4} \sin^2 \phi \right]$$

$$= p_{\infty} + \rho \frac{U^2}{2} \left(-\frac{5}{4} \right) + \frac{\rho U^2}{2} \sin^2 \theta \cos^2 \phi$$

Force de pression \rightarrow partie constante.

$$\vec{F} = \oint_S p \, d\vec{S} = \int_0^{\pi} \int_0^{2\pi} p|_{r=R} R^2 \sin \theta \, (-\vec{e}_n) \, d\theta \, d\phi$$



$$\vec{e}_n = \sin \theta \cos \phi \, \vec{e}_x + \sin \theta \sin \phi \, \vec{e}_y + \cos \theta \, \vec{e}_z$$

Le potentiel hydro "candidat"

(6)

$$\Phi = \left(A r + \frac{B}{r^2} \right) \sin \theta \cos \phi$$

A l'infini, on doit avoir $\Phi \rightarrow \Phi_\infty$. Ceci implique $A = U$

4. Sur la surface de la sphère on veut

$$u_r|_{r=R} = 0 \quad (\Rightarrow) \quad \partial_r \Phi|_{r=R} = 0$$

Ici

$$U - \frac{2B}{R^3} = 0 \quad (\Rightarrow) \quad B = \frac{UR^3}{2}$$

Solution potentiel connue.

$$\Phi = U \left(r + \frac{R^3}{2r^2} \right) \sin \theta \cos \phi$$

On peut calculer l'écoulement.

$$u_r = \partial_r \Phi = U \left(1 - \frac{R^3}{r^3} \right) \sin \theta \cos \phi$$

$$u_\theta = \frac{1}{r} \partial_\theta \Phi = U \left(1 + \frac{R^3}{2r^3} \right) \cos \theta \cos \phi$$

$$u_\phi = \frac{1}{r \sin \theta} \partial_\phi \Phi = -U \left(1 + \frac{R^3}{2r^3} \right) \sin \phi$$

la partie constante de la pression ne peut
niement pas contribuer. Il reste
(cognitive)

(7)

$$\begin{aligned} \vec{F} = & - \int_0^\pi \int_0^{2\pi} \frac{\rho u^2}{2} R^2 \sin^3 \theta \cos^2 \phi \\ & \cdot \left[\sin \theta \cos \phi \vec{e}_x \right. \\ & \quad + \sin \theta \sin \phi \vec{e}_y \\ & \quad \left. + \cos \theta \vec{e}_z \right] d\theta d\phi \end{aligned}$$

Selon \vec{e}_x et \vec{e}_y on remarque

$$\int_0^{2\pi} \cos^3 \phi d\phi = 0 \rightarrow F_x = 0$$

$$\int_0^{2\pi} \cos \phi \sin \phi d\phi = 0 \rightarrow F_y = 0$$

Selon \vec{e}_z

$$\begin{aligned} & \int_0^\pi \sin^3 \theta \cos \theta d\theta \\ & = \int_0^\pi \sin^3 \theta d \sin \theta \\ & = \left[\frac{\sin^4 \theta}{4} \right]_0^\pi = 0 \rightarrow F_z = 0 \end{aligned}$$

On retrouve le résultat du paradoxe
de d'Alembert.

$$\vec{F} = \vec{0}$$

7. Non, on ne peut pas ajouter une circulation (8) ici de la même manière. Contrairement au cas du cylindre, l'extérieur de la sphère est un domaine simplement connecté. Le potentiel trouve ici

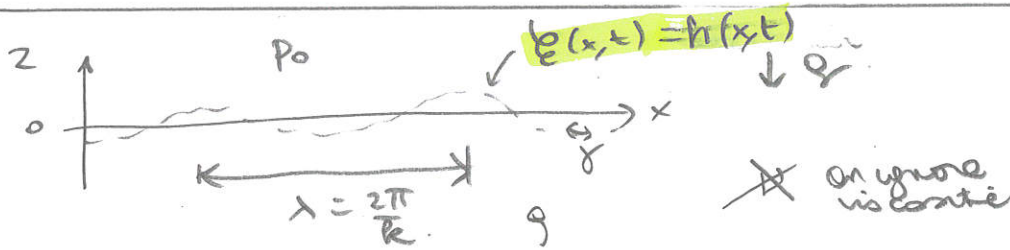
$$\Phi = U \left(r + \frac{R^3}{2r^2} \right) \sin \theta \cos \phi$$

est solution unique du problème.

Il est bien plus difficile de retrouver la force de portance dans le cas d'un objet 3D, pas forcément selon une direction de l'espace.

TD 3 : Ondes de surface en eau très profonde

(1)



p_0 : pression atm

ρ : densité = constant

γ : tension de surface

$h = \eta$: élévation de la surface

g : gravité

devrait être h
Mettre en évidence que $\eta = h$
dans l'équation

1. (masse) $\nabla \cdot \vec{u} = 0$
(Euler) $\rho \left(\frac{\partial \vec{u}}{\partial t} + (\vec{u} \cdot \nabla) \vec{u} \right) = -\nabla p - \rho g \vec{e}_z$

2. Si on ignore le terme $(\vec{u} \cdot \nabla) \vec{u}$ dans Euler alors

$$\rho \frac{\partial \vec{u}}{\partial t} = -\nabla p - \rho g \vec{e}_z$$

Appliquant le rotationnel, on voit

$$\rho \frac{\partial}{\partial t} \underbrace{\nabla \times \vec{u}}_{\text{vorticité}} = 0$$

Si la vorticité = 0 au début elle le restera On peut chercher

$$\vec{u} = \nabla \Phi$$

Dans Euler

$$\nabla \left(\rho \frac{\partial \Phi}{\partial t} + p + \rho g z \right) = 0$$

Intégration donne

$$\rho \frac{\partial \Phi}{\partial t} + p + \rho g z = C \Rightarrow p = C - \rho \frac{\partial \Phi}{\partial t} - \rho g z$$

avec C une constante (indép. de l'espace, et du temps)

3. Si $\nabla \cdot \vec{u} = 0$ et $\vec{u} = \nabla \Phi$ alors

$$\nabla \cdot \nabla \Phi = 0 \Rightarrow \nabla^2 \Phi = 0$$

pb de Laplace

4. On propose \rightarrow [j'aurais pas du mettre A] (2)

$$\Phi = A g(z) \sin(kx - \omega t)$$

Dans le pb de Laplace.

$$\frac{\partial^2 \Phi}{\partial x^2} + \frac{\partial^2 \Phi}{\partial z^2} = 0$$

$$\Leftrightarrow \left(-k^2 g(z) + \frac{d^2 g}{dz^2} \right) \underbrace{A}_{\text{non-nul}} \underbrace{\sin(kx - \omega t)}_{\text{non-nul } \forall k, t \text{ quelconque}} = 0$$

On doit avoir

$$\frac{d^2 g}{dz^2} - k^2 g = 0 \quad \Leftrightarrow \quad g(z) = C_+ e^{kz} + C_- e^{-kz}$$

Le potentiel doit rester fini pour $z \rightarrow -\infty \Rightarrow C_- = 0$.

$$g(z) = C_+ e^{kz}$$

Solution:

$$\Phi = \underbrace{AC_+}_{A \text{ nouvelle est ainsi}} e^{kz} \sin(kx - \omega t) = A e^{kz} \sin(kx - \omega t)$$

5. La pression

$$p = C - \rho \frac{\partial \Phi}{\partial t} - \rho g z$$

$$= C + A \rho \omega e^{kz} \cos(kx - \omega t) - \rho g z$$

6. Le champ de vitesse sous l'onde

$$\vec{u} = \nabla \Phi = \frac{\partial \Phi}{\partial x} \vec{e}_x + \frac{\partial \Phi}{\partial z} \vec{e}_z$$

$$= A k e^{kz} \cos(kx - \omega t) \vec{e}_x$$

$$+ A k e^{kz} \sin(kx - \omega t) \vec{e}_z$$

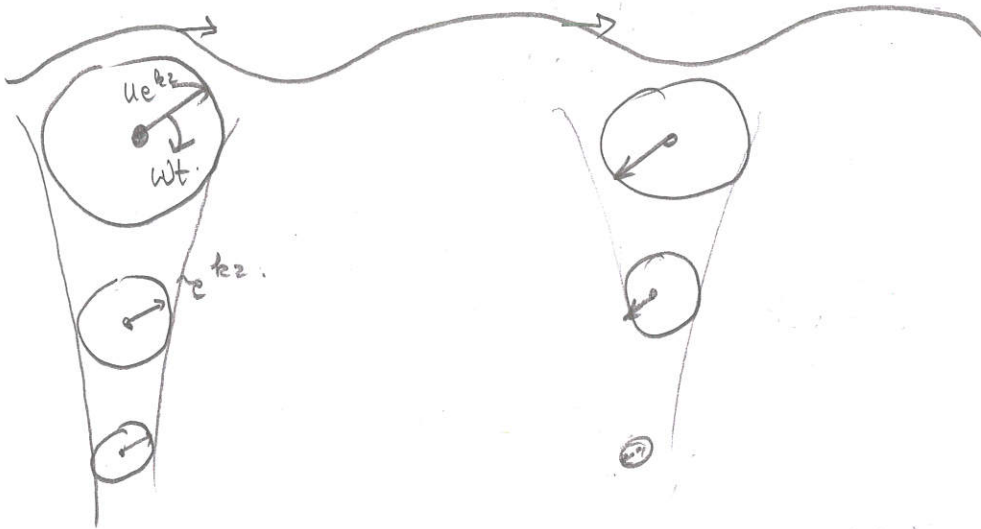
Si on identifie

$Ak = u$ une amplitude de vitesse

$$\vec{u} = u e^{kz} (\cos(kx - \omega t) \vec{e}_x + \sin(kx - \omega t) \vec{e}_z)$$

La intensité diminue exponentiellement avec $z \downarrow$. $A = z$ fixe.
 Le vecteur intense décrit un cercle.

(3)



BONUS: ne pas faire en TD, juste donner l'info

En cours, j'ai inversé la notation, peut être qu'il faut mieux rester fidèle à cette notation nouvelle.

$$\frac{d\vec{r}}{dt} = \vec{u}(\vec{r}, t) \quad , \quad \vec{r}(0) = \vec{R}_0 = x_0 \vec{e}_x + z_0 \vec{e}_z.$$

Sans forme intégrale

$$\vec{r}(t) = \vec{R}_0 + \int_0^t \vec{u}(\vec{r}(t'), t') dt'$$

Approx: les particules restent proche des points initiaux. $\vec{r}(t) \approx \vec{R}_0 + \delta \vec{r}$

$$\vec{r}(t) \approx \vec{R}_0 + \int_0^t \vec{u}(\vec{R}_0, t') dt'$$

\Rightarrow ils essayent tout seul.

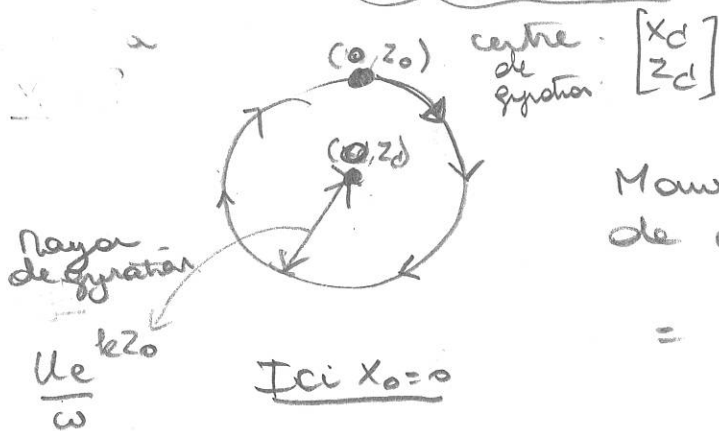
\Rightarrow tu dis qu'ils doivent avoir des trajets circulaires.

Sans forme mat

$$\begin{aligned} \begin{bmatrix} x(t) \\ z(t) \end{bmatrix} &\approx \begin{bmatrix} x_0 \\ z_0 \end{bmatrix} + \int_0^t u e^{kz_0} \left(\cos(kx_0 - \omega t') \vec{e}_x + \sin(kx_0 - \omega t') \vec{e}_z \right) dt' \\ &= \begin{bmatrix} x_0 \\ z_0 \end{bmatrix} + \frac{u e^{kz_0}}{\omega} \begin{bmatrix} \sin(kx_0 - \omega t) + \sin(kx_0) \\ + \cos(kx_0 - \omega t) - \cos(kx_0) \end{bmatrix} \end{aligned}$$

donne

$$\begin{bmatrix} x(x) \\ z(x) \end{bmatrix} = \begin{bmatrix} X_0 + \frac{U_e}{\omega} k z_0 \sin(k X_0) \\ Z_0 - \frac{U_e}{\omega} k z_0 \cos(k X_0) \end{bmatrix} + \frac{U_e}{\omega} k z_0 \begin{bmatrix} -\sin(k X_0 - \omega t) \\ +\cos(k X_0 - \omega t) \end{bmatrix}$$



Mouvement de gyration : Rayon de gyration
 $= \frac{U_e k z_0}{\omega}$

En première approximation les particules tournent sur des cercles de rayon $\frac{U_e k z_0}{\omega}$

En réalité :

dérive de Stokes.
 pendant son mouvement la particule voit l'amplitude de vécine changer \Rightarrow + déplacé quand se haut, - déplacé se bas.
 \Rightarrow net dérive vers la droite

8. $\frac{D}{Dt} (z - h(x, t)) = 0 \Big|_{z=h(x, t)}$

$$\Leftrightarrow \left(\frac{\partial}{\partial t} + \vec{u} \cdot \nabla \right) (z - h(x, t)) \Big|_{z=h(x, t)} = 0$$

$$\Leftrightarrow u_z \Big|_{z=h} - \partial_t h - u_x \Big|_{z=h} \partial_x h = 0$$

On ignore les termes NL

$$\partial_t h \approx u_z \Big|_{z=h}$$

DL du membre de droite autour de $z=0$

donne

$$\partial_t h \approx u_z|_{z=0} + \cancel{A \partial_z u_z|_{z=0}} + \dots$$

~~terme NL~~

(5)

La CL linéarisée (SHIT $\epsilon \rightarrow h$).

$$\frac{\partial h}{\partial t} = u_z|_{z=0}$$

Ici \rightarrow ou u .

$$u_z|_{z=0} = A k \sin(kx - \omega t)$$

On doit avoir

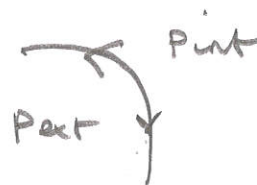
$$\frac{\partial h}{\partial t} = A k \sin(kx - \omega t)$$

Intégration donne:

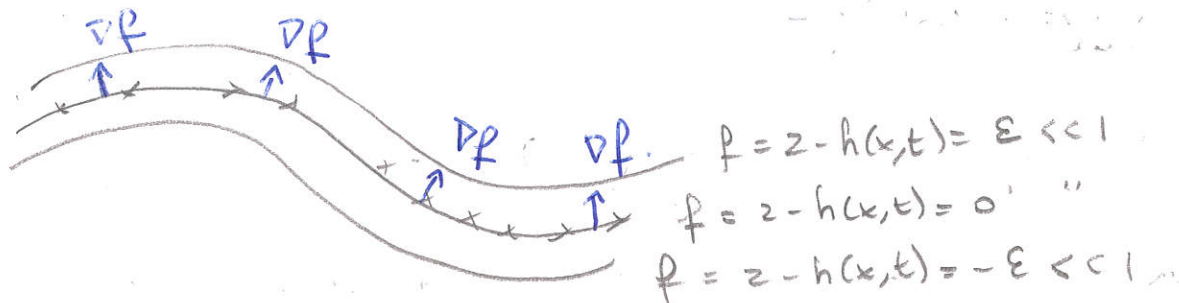
$$h = \frac{A k}{\omega} \cos(kx - \omega t)$$

9. Loi de Yang-Laplace

$$P_{int} - P_{ext} = \gamma k$$



Ici $k = \pm \nabla \cdot \vec{n}$. Il faut $\vec{n} \approx \nabla f$ comme ici



Si on trouve:

$$\nabla f = \nabla(z - h(x, t)) = \vec{e}_z - \nabla h$$

norme ?

$$\|\nabla f\| = \sqrt{1 + \|\nabla h\|^2} \approx 1 \text{ ds l'approx linéaire}$$

On évalue alors.

(6)

$$K = \pm \nabla_0 \cdot \vec{n} = \pm \nabla_0 \cdot (\vec{e}_2 - \nabla h) = \mp \nabla_0^2 h$$

Ici $f(x,t)$ dard.

$$K = \mp \frac{\partial^2 h}{\partial x^2}$$

Si on exprime la CL du tout de premier ordre
on a.

$$P_{\text{fluide}} \Big|_{z=h} - p_0 = \mp \gamma \frac{\partial^2 h}{\partial x^2} \quad \text{pes de } \gamma$$

soit

$$C + \underbrace{A g \omega e^{kz} \cos(kx - \omega t)}_{\text{DL autour de } z=0} \Big|_{z=h} - p_0 = \mp \gamma \frac{\partial^2 h}{\partial x^2}$$

$$\Leftrightarrow C + A g \omega e^{kz} \cos(kx - \omega t)$$

$$-p_0 - g \frac{A k}{\omega} \cos(kx - \omega t) = \pm \gamma k^2 \frac{A k}{\omega} \cos(kx - \omega t)$$

On choisit $C = p_0$ et on obtient alors.

$$A \cos(kx - \omega t) \left[g \omega - \frac{g g k}{\omega} \mp \frac{\gamma k^3}{\omega} \right] = 0$$

Afin de satisfaire cette relation $\forall x, t$, il faut que

$$g \omega - \frac{g g k}{\omega} \mp \frac{\gamma k^3}{\omega} = 0$$

$$\Leftrightarrow \omega^2 = g k \pm \frac{\gamma k^3}{g}$$

Physiquement, on doit avoir un nœud + ici car \odot
 min

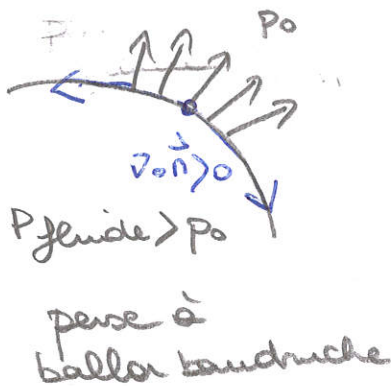
$$\omega^2 < 0$$

et possible \Rightarrow des solutions / ondes instables. Ceci
 n'est pas normal dans cette configuration. Il fallait
 donc prendre

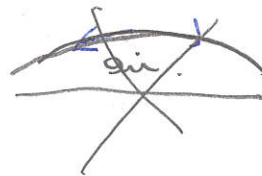
$\oplus \rightarrow$ choix en haut
 au début, c. a. d.

$$P_{\text{fluide}}|_{z=h} - p_0 = +\gamma \nabla_0 \cdot \vec{n} \quad \vec{n} \text{ sortant du fluide}$$

Normal car



pense à
 une ventouse.



10. La vitesse de phase

$$c = \frac{\omega}{k} = \frac{1}{k} \sqrt{gk + \frac{\gamma k^3}{\rho}} = \sqrt{\frac{g}{k} + \frac{\gamma k}{\rho}}$$

Limite $k \rightarrow 0$:

$$c \approx \sqrt{\frac{g}{k}}$$

"grandes longueurs d'onde"
 sans l'influence de γ .

Limite $k \rightarrow +\infty$:

$$c \approx \sqrt{\frac{\gamma k}{\rho}}$$

"petites longueurs d'onde"
 sans l'influence de g .

ondes de gravité / ondes capillaires.

(8)

Nombre d'onde critique k_c si

$$\frac{g}{k_c} = \frac{\gamma k_c}{g}$$

Soit

$$k_c^2 = \frac{g g}{\gamma} \Rightarrow k_c = \sqrt{\frac{g g}{\gamma}}$$

On appelle.

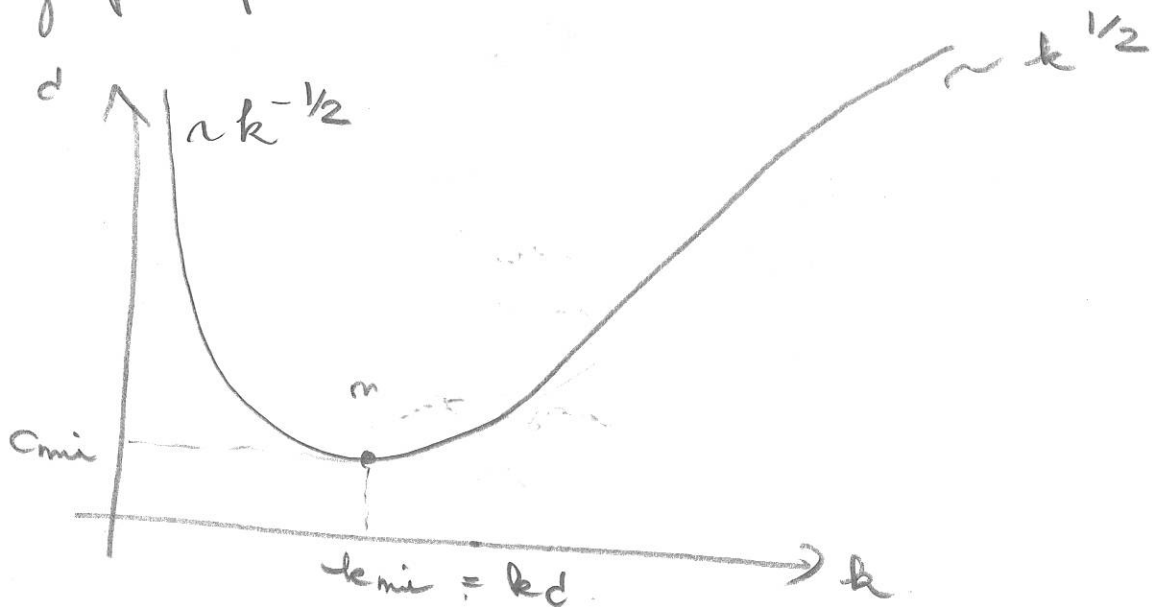
$$l_c = k_c^{-1} = \sqrt{\frac{\gamma}{g g}}$$

$$\text{A.N. } l_c = \sqrt{\frac{0.072}{10^3 \times 9.81}}$$

la longueur capillaire :

$$= 2.7 \text{ mm}$$

Graphe pour vitesse de phase.



$$\left. \frac{dv}{dk} \right|_{k=k_{\min}} = 0 \Leftrightarrow \frac{1}{2\sqrt{\frac{g}{k} + \frac{\gamma k_{\min}}{g}}} \cdot \left(-\frac{g}{k_{\min}^2} + \frac{\gamma}{g} \right) = 0$$

$$\Leftrightarrow l_{\min} = \sqrt{\frac{g g}{\gamma}} = l_c$$

11. Vitesse de groupe.

(9)

$c_g = \frac{dw}{dk}$ séparément dans les 2 régimes.

$$w = \sqrt{gk}$$

$$c_g = \frac{1}{2\sqrt{gk}} \cdot g$$

$$= \frac{1}{2} \sqrt{\frac{g}{k}} = \frac{c}{2}$$

vitesse de groupe
< à vitesse
de phase

$$w = \sqrt{\frac{\gamma k^3}{\rho}}$$

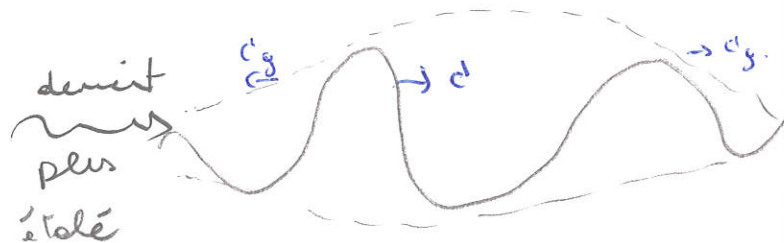
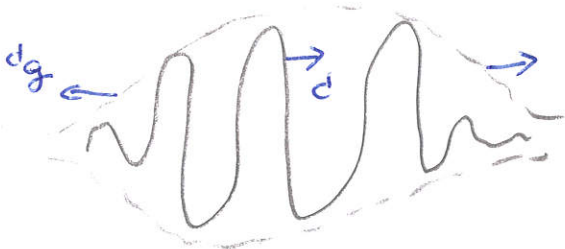
$$c_g = \frac{1}{2\sqrt{\frac{\gamma k^3}{\rho}}} \cdot 3\frac{\gamma k^2}{\rho}$$

$$= \frac{3}{2} \sqrt{\frac{\gamma k}{\rho}} = \frac{3}{2} c$$

vitesse de groupe
> à vitesse de
phase.

Ceci nous indique quelque chose sur la dispersion d'un paquet d'ondes.

• ondes de gravité :



la longueur d'onde augmente avec le temps
= bien connu des surfeurs.



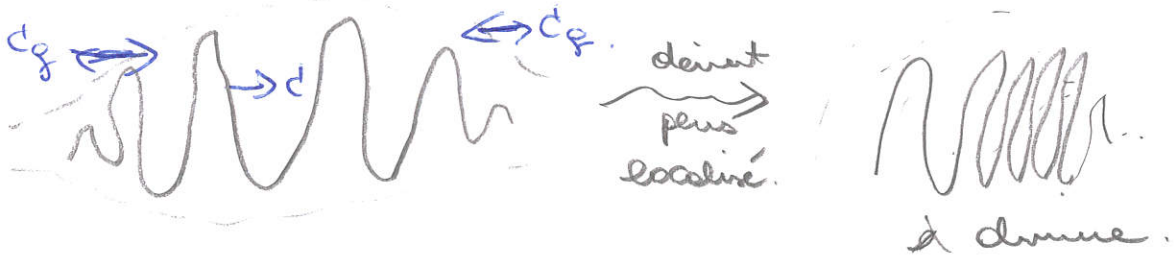
ni houle de
vent (proche
des côtes)



ni houle de fond
qui est générée par
des déplacements au large.

• ondes capillaires

10



explique pourquoi des ondes capillaires ont
tendance à disperser + vite : petites échelles.
(grand k) tendent à disperser + vite.